

Starkniederschlagshöhen und -spenden gemäß KOSTRA-DWD-2020

Rasterfeld 131174

(Zeile 131, Spalte 174)

Regenspende und Bemessungsniederschlagswerte in Abhängigkeit von Wiederkehrzeit T und Dauerstufe D

| Dauerstufe D | | Wiederkehrzeit T | | | | | | | | | | | | | | | | | |
|--------------|-----|------------------|------------|------|------------|------|------------|------|------------|------|------------|-------|------------|-------|------------|-------|------------|-------|------------|
| | | 1 a | | 2 a | | 3 a | | 5 a | | 10 a | | 20 a | | 30 a | | 50 a | | 100 a | |
| min | Std | mm | l / (s ha) | mm | l / (s ha) | mm | l / (s ha) | mm | l / (s ha) | mm | l / (s ha) | mm | l / (s ha) | mm | l / (s ha) | mm | l / (s ha) | mm | l / (s ha) |
| 5 | | 8,3 | 276,7 | 10,4 | 346,7 | 11,8 | 393,3 | 13,6 | 453,3 | 16,1 | 536,7 | 18,7 | 623,3 | 20,5 | 683,3 | 22,7 | 756,7 | 26,0 | 866,7 |
| 10 | | 10,3 | 171,7 | 13,0 | 216,7 | 14,7 | 245,0 | 16,9 | 281,7 | 20,0 | 333,3 | 23,3 | 388,3 | 25,5 | 425,0 | 28,3 | 471,7 | 32,3 | 538,3 |
| 15 | | 11,5 | 127,8 | 14,5 | 161,1 | 16,4 | 182,2 | 18,8 | 208,9 | 22,4 | 248,9 | 26,0 | 288,9 | 28,4 | 315,6 | 31,6 | 351,1 | 36,1 | 401,1 |
| 20 | | 12,3 | 102,5 | 15,6 | 130,0 | 17,6 | 146,7 | 20,3 | 169,2 | 24,1 | 200,8 | 28,0 | 233,3 | 30,6 | 255,0 | 34,0 | 283,3 | 38,8 | 323,3 |
| 30 | | 13,6 | 75,6 | 17,2 | 95,6 | 19,4 | 107,8 | 22,3 | 123,9 | 26,5 | 147,2 | 30,9 | 171,7 | 33,7 | 187,2 | 37,4 | 207,8 | 42,8 | 237,8 |
| 45 | | 14,9 | 55,2 | 18,9 | 70,0 | 21,3 | 78,9 | 24,5 | 90,7 | 29,1 | 107,8 | 33,9 | 125,6 | 37,0 | 137,0 | 41,1 | 152,2 | 46,9 | 173,7 |
| 60 | 1 | 15,9 | 44,2 | 20,1 | 55,8 | 22,7 | 63,1 | 26,1 | 72,5 | 31,0 | 86,1 | 36,1 | 100,3 | 39,4 | 109,4 | 43,8 | 121,7 | 50,0 | 138,9 |
| 90 | 1,5 | 17,4 | 32,2 | 21,9 | 40,6 | 24,8 | 45,9 | 28,5 | 52,8 | 33,9 | 62,8 | 39,4 | 73,0 | 43,0 | 79,6 | 47,8 | 88,5 | 54,6 | 101,1 |
| 120 | 2 | 18,5 | 25,7 | 23,3 | 32,4 | 26,3 | 36,5 | 30,3 | 42,1 | 36,0 | 50,0 | 41,9 | 58,2 | 45,8 | 63,6 | 50,8 | 70,6 | 58,0 | 80,6 |
| 180 | 3 | 20,1 | 18,6 | 25,4 | 23,5 | 28,7 | 26,6 | 33,0 | 30,6 | 39,2 | 36,3 | 45,6 | 42,2 | 49,8 | 46,1 | 55,3 | 51,2 | 63,2 | 58,5 |
| 240 | 4 | 21,3 | 14,8 | 27,0 | 18,8 | 30,5 | 21,2 | 35,1 | 24,4 | 41,7 | 29,0 | 48,5 | 33,7 | 52,9 | 36,7 | 58,8 | 40,8 | 67,1 | 46,6 |
| 360 | 6 | 23,2 | 10,7 | 29,4 | 13,6 | 33,1 | 15,3 | 38,1 | 17,6 | 45,3 | 21,0 | 52,7 | 24,4 | 57,6 | 26,7 | 63,9 | 29,6 | 73,0 | 33,8 |
| 540 | 9 | 25,3 | 7,8 | 31,9 | 9,8 | 36,0 | 11,1 | 41,5 | 12,8 | 49,3 | 15,2 | 57,3 | 17,7 | 62,6 | 19,3 | 69,5 | 21,5 | 79,4 | 24,5 |
| 720 | 12 | 26,8 | 6,2 | 33,9 | 7,8 | 38,2 | 8,8 | 44,0 | 10,2 | 52,3 | 12,1 | 60,8 | 14,1 | 66,4 | 15,4 | 73,8 | 17,1 | 84,3 | 19,5 |
| 1080 | 18 | 29,1 | 4,5 | 36,8 | 5,7 | 41,6 | 6,4 | 47,8 | 7,4 | 56,8 | 8,8 | 66,1 | 10,2 | 72,2 | 11,1 | 80,2 | 12,4 | 91,6 | 14,1 |
| 1440 | 24 | 30,9 | 3,6 | 39,1 | 4,5 | 44,1 | 5,1 | 50,7 | 5,9 | 60,3 | 7,0 | 70,1 | 8,1 | 76,6 | 8,9 | 85,1 | 9,8 | 97,2 | 11,3 |
| 2880 | 48 | 35,6 | 2,1 | 45,0 | 2,6 | 50,8 | 2,9 | 58,5 | 3,4 | 69,5 | 4,0 | 80,9 | 4,7 | 88,3 | 5,1 | 98,0 | 5,7 | 112,0 | 6,5 |
| 4320 | 72 | 38,7 | 1,5 | 48,9 | 1,9 | 55,3 | 2,1 | 63,6 | 2,5 | 75,5 | 2,9 | 87,9 | 3,4 | 96,0 | 3,7 | 106,5 | 4,1 | 121,7 | 4,7 |
| 5760 | 96 | 41,1 | 1,2 | 51,9 | 1,5 | 58,6 | 1,7 | 67,4 | 2,0 | 80,1 | 2,3 | 93,2 | 2,7 | 101,8 | 2,9 | 113,0 | 3,3 | 129,1 | 3,7 |
| 7200 | 120 | 43,0 | 1,0 | 54,3 | 1,3 | 61,3 | 1,4 | 70,6 | 1,6 | 83,9 | 1,9 | 97,6 | 2,3 | 106,5 | 2,5 | 118,3 | 2,7 | 135,1 | 3,1 |
| 8640 | 144 | 44,6 | 0,9 | 56,4 | 1,1 | 63,7 | 1,2 | 73,3 | 1,4 | 87,1 | 1,7 | 101,3 | 2,0 | 110,6 | 2,1 | 122,8 | 2,4 | 140,3 | 2,7 |
| 10080 | 168 | 46,0 | 0,8 | 58,2 | 1,0 | 65,7 | 1,1 | 75,6 | 1,3 | 89,8 | 1,5 | 104,5 | 1,7 | 114,1 | 1,9 | 126,7 | 2,1 | 144,8 | 2,4 |

Starkniederschlagshöhen und -spenden gemäß KOSTRA-DWD-2020

Rasterfeld 131174

(Zeile 131, Spalte 174)

Örtliche Unsicherheiten in Abhängigkeit von Wiederkehrzeit T und Dauerstufe D

| Dauerstufe D | | Wiederkehrzeit T | | | | | | | | |
|--------------|-----|------------------|-----|-----|-----|------|------|------|------|-------|
| | | 1 a | 2 a | 3 a | 5 a | 10 a | 20 a | 30 a | 50 a | 100 a |
| min | Std | ± % | ± % | ± % | ± % | ± % | ± % | ± % | ± % | ± % |
| 5 | | 11 | 12 | 12 | 13 | 14 | 15 | 15 | 15 | 16 |
| 10 | | 13 | 15 | 16 | 17 | 18 | 19 | 19 | 20 | 20 |
| 15 | | 15 | 17 | 18 | 19 | 21 | 21 | 22 | 22 | 23 |
| 20 | | 16 | 19 | 20 | 21 | 22 | 23 | 23 | 24 | 24 |
| 30 | | 18 | 20 | 21 | 22 | 23 | 24 | 25 | 25 | 26 |
| 45 | | 18 | 21 | 22 | 23 | 24 | 25 | 25 | 26 | 27 |
| 60 | 1 | 18 | 21 | 22 | 23 | 24 | 25 | 26 | 26 | 27 |
| 90 | 1,5 | 18 | 21 | 22 | 23 | 24 | 25 | 25 | 26 | 26 |
| 120 | 2 | 18 | 20 | 21 | 22 | 24 | 25 | 25 | 26 | 26 |
| 180 | 3 | 17 | 20 | 21 | 22 | 23 | 24 | 24 | 25 | 26 |
| 240 | 4 | 17 | 19 | 20 | 21 | 22 | 23 | 24 | 24 | 25 |
| 360 | 6 | 16 | 18 | 19 | 20 | 22 | 23 | 23 | 24 | 24 |
| 540 | 9 | 15 | 18 | 19 | 20 | 21 | 22 | 22 | 23 | 23 |
| 720 | 12 | 15 | 17 | 18 | 19 | 20 | 21 | 22 | 22 | 23 |
| 1080 | 18 | 15 | 17 | 17 | 18 | 20 | 20 | 21 | 21 | 22 |
| 1440 | 24 | 14 | 16 | 17 | 18 | 19 | 20 | 20 | 21 | 21 |
| 2880 | 48 | 14 | 16 | 16 | 17 | 18 | 19 | 19 | 20 | 20 |
| 4320 | 72 | 14 | 15 | 16 | 17 | 18 | 18 | 19 | 19 | 20 |
| 5760 | 96 | 14 | 15 | 16 | 17 | 18 | 18 | 19 | 19 | 19 |
| 7200 | 120 | 15 | 16 | 16 | 17 | 17 | 18 | 18 | 19 | 19 |
| 8640 | 144 | 15 | 16 | 16 | 17 | 17 | 18 | 18 | 19 | 19 |
| 10080 | 168 | 15 | 16 | 16 | 17 | 17 | 18 | 18 | 19 | 19 |

Parameter für abweichende T und D

Lokationsparameter ξ (Xi)

16,14785731

Skalenparameter α (Alpha)

5,92106275

Formparameter κ (Kappa)

-0,1

1. Koutsoyiannis-Parameter θ (Theta)

0,01875179

2. Koutsoyiannis-Parameter η (Eta)

0,79531569

Parameter für dauerstufenübergreifende Extremwertschätzung nach KOUTSOYIANNIS et al. 1998.

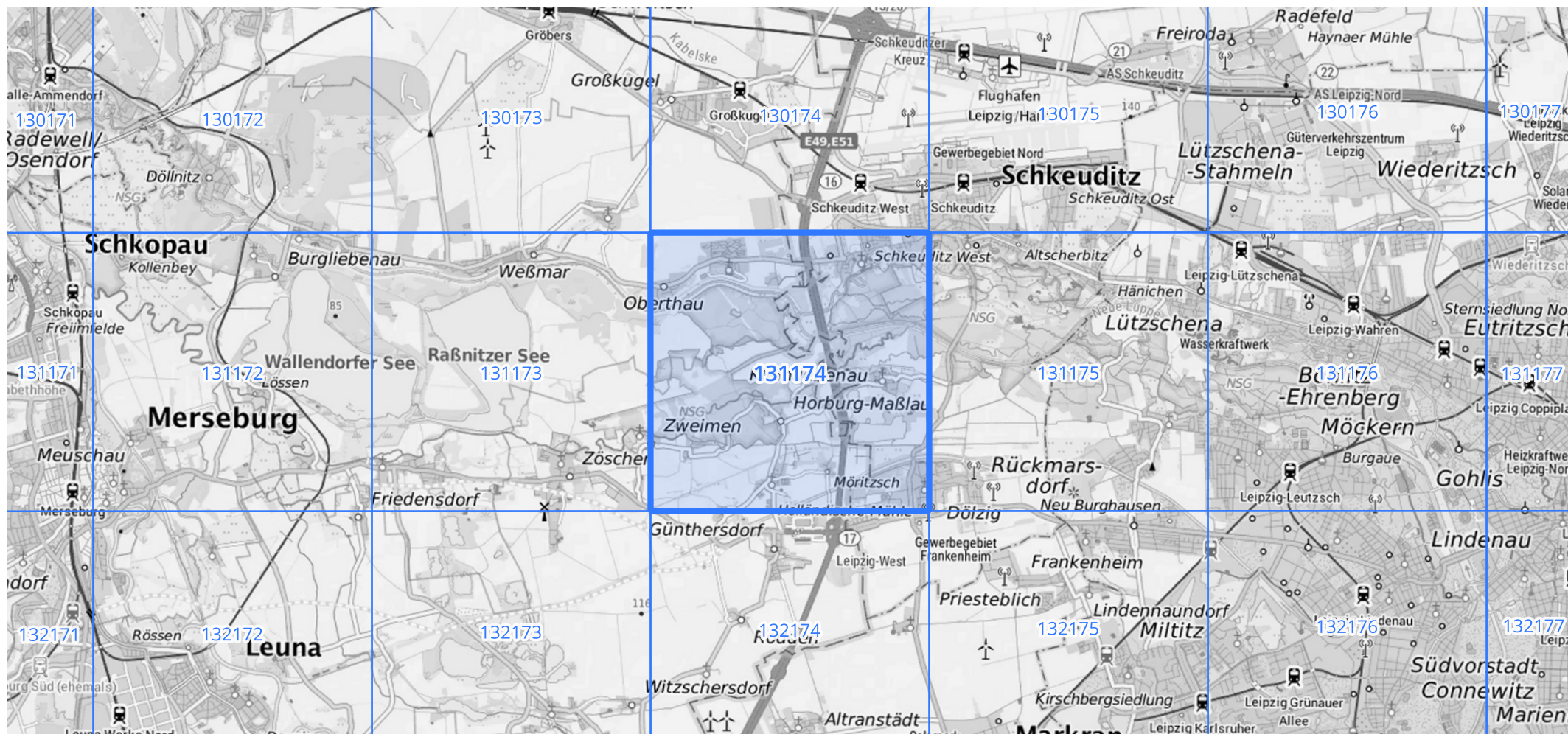
Siehe auch Anwendungshilfe zu KOSTRA-DWD-2020 des Deutschen Wetterdienstes.

Starkniederschlagshöhen und -spenden gemäß KOSTRA-DWD-2020

Rasterfeld 131174

(Zeile 131, Spalte 174)

Übersichtskarte des Rasterfeldes 131174, M 1 : 100 000



Quelle Rasterdaten: KOSTRA-DWD-2020 des Deutschen Wetterdienstes, Stand 12/2022.

Seite 3 von 3

Kartendarstellung: © Bundesamt für Kartographie und Geodäsie (2023), Datenquellen: https://sgx.geodatenzentrum.de/web_public/gdz/datenquellen/Datenquellen_TopPlusOpen.html

Für die Richtigkeit und Aktualität der Angaben wird keine Gewähr übernommen. Erstellt 01/2023.